

ARQUITECTURA DE COMPUTADORES: PRÁCTICA 3

ALEJANDRO PASCUAL¹ Y VÍCTOR YRAZUSTA²

ÍNDICE

1	Ejercicio 0: Información sobre la caché del sistema	3
1.1	Arquitectura de la caché de los equipos del laboratorio	3
2	Ejercicio 1: Memoria caché y rendimiento	5
2.1	Tomo de datos	5
2.2	Gráfica de ejecución de los programas “slow” y “fast”	6
3	Ejercicio 2: Tamaño de la caché y rendimiento	7
3.1	Ejecución de las pruebas	7
3.2	Gráficas de fallos de escritura	7
3.3	Gráficas de fallos de lectura	10
4	Ejercicio 3: Caché y multiplicación de matrices	13
4.1	Algoritmo	13
4.2	Realización de las pruebas	13
4.3	Gráficas de tiempo de ejecución	13
4.4	Gráficas de fallos de memoria	14
5	Ejercicio 4	15
5.1	Gráficas de tiempos de ejecución	15
5.2	Gráficas de fallos de lectura y escritura	18

ÍNDICE DE FIGURAS

Figura 1	Arquitectura de la caché de los equipos del laboratorio	4
Figura 2	Gráfica time_slow_fast.png	6
Figura 3	Gráfica de fallos de escritura (1024)	7
Figura 4	Gráfica de fallos de escritura (2048)	8
Figura 5	Gráfica de fallos de escritura (4096)	8
Figura 6	Gráfica de fallos de escritura (8192)	9
Figura 7	Gráfica de fallos de lectura (1024)	10
Figura 8	Gráfica de fallos de lectura (2048)	11
Figura 9	Gráfica de fallos de lectura (4096)	11
Figura 10	Gráfica de fallos de lectura (8192)	12

¹ alejandro.pascualp@estudiante.uam.es

² victor.yrazusta@estudiante.uam.es

Figura 11	Gráfica de tiempo de ejecución	13
Figura 12	Gráfica de fallos de caché	14
Figura 13	Gráfica de tiempo de ejecución (1024)	15
Figura 14	Gráfica de tiempo de ejecución (2048)	16
Figura 15	Gráfica de tiempo de ejecución (4096)	16
Figura 16	Gráfica de tiempo de ejecución (8192)	17
Figura 17	Gráfica de fallos de caché (1024)	18
Figura 18	Gráfica de fallos de caché (2048)	19
Figura 19	Gráfica de fallos de caché (4096)	19
Figura 20	Gráfica de fallos de caché (8192)	20

1 EJERCICIO 0: INFORMACIÓN SOBRE LA CACHÉ DEL SISTEMA

1.1 Arquitectura de la caché de los equipos del laboratorio

Tras la ejecución del primer comando obtenemos información acerca del procesador y de su distribución de memorias caché:

```
1 vendor_id : GenuineIntel
2 cpu family : 6
3 model : 158
4 model name : Intel(R) Core(TM) i5-7500 CPU @ 3.40GHz
5 cpu MHz : 900.029
6 cache size : 6144 KB
7 siblings : 4
8 cpu cores : 4
9 cache_alignment : 64
10 address sizes : 39 bits physical, 48 bits virtual
```

Recorte 1: `cat /proc/cpuinfo` (parte importante)

Como podemos observar contamos con direcciones de memoria físicas de 39 bits y direcciones de memoria virtuales de 48, así el tamaño de los bloques de la caché, 64 bytes. La ejecución del siguiente comando muestra esto:

```
1 LEVEL1_ICACHE_SIZE           32768
2 LEVEL1_ICACHE_ASSOC          8
3 LEVEL1_ICACHE_LINESIZE       64
4 LEVEL1_DCACHE_SIZE           32768
5 LEVEL1_DCACHE_ASSOC          8
6 LEVEL1_DCACHE_LINESIZE       64
7 LEVEL2_CACHE_SIZE            262144
8 LEVEL2_CACHE_ASSOC           4
9 LEVEL2_CACHE_LINESIZE        64
10 LEVEL3_CACHE_SIZE            6291456
11 LEVEL3_CACHE_ASSOC           12
12 LEVEL3_CACHE_LINESIZE        64
13 LEVEL4_CACHE_SIZE            0
14 LEVEL4_CACHE_ASSOC            0
15 LEVEL4_CACHE_LINESIZE        0
```

Recorte 2: `getconf -a | grep -i cache`

Aquí podemos ver los diferentes tamaños de la caché del sistema, la cantidad de “conjuntos” o “vías” de esta y los tamaños de bloque para cada nivel (los equipos de laboratorio no cuentan con caché de nivel 4).

La ejecución del último comando nos proporciona una imagen en la que vemos reflejada esta información:

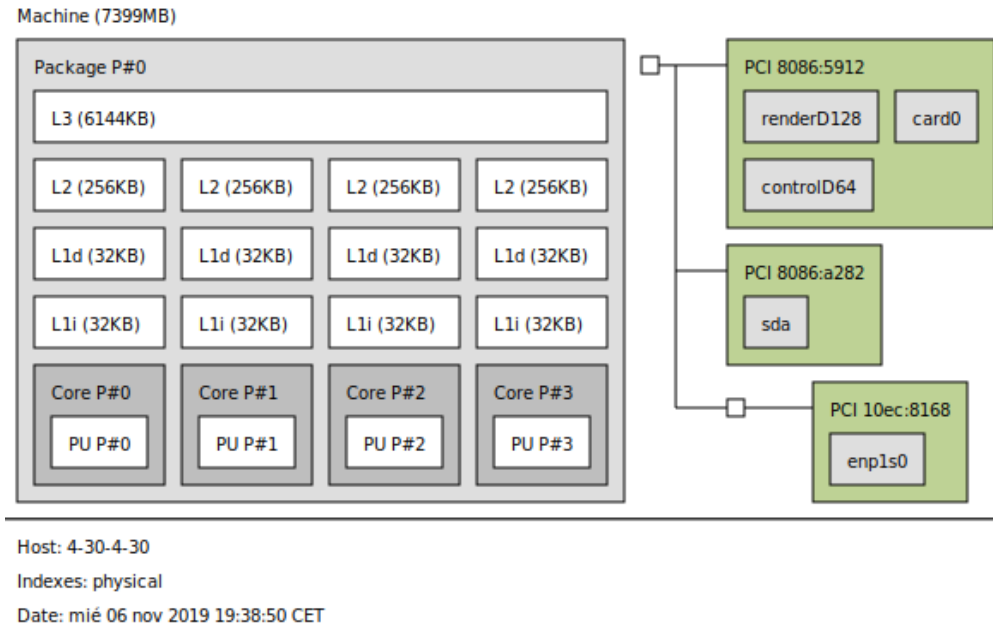


Figura 1: Arquitectura de la caché de los equipos del laboratorio.

Aquí podemos comprobar que contamos con una memoria caché de nivel 3 que comparten todos los núcleos del procesador, pero el resto de niveles son diferentes para cada núcleo.

2 EJERCICIO 1: MEMORIA CACHÉ Y RENDIMIENTO

2.1 Tomo de datos

Es necesario repetir varias veces la ejecución de las pruebas para conseguir información fiable. Nosotros hemos ejecutado cada test 10 veces de manera intercalada, y hemos realizado la media de todas estas métricas para la realización de las gráficas de los diferentes ejercicios mediante el siguiente código Python:

```

1 import sys
2
3 if len(sys.argv) != 2:
4     print('Numero incorrecto de argumentos.')
5     exit()
6
7 file = open(sys.argv[1], 'r')
8
9 averages = {}
10
11 for line in file.readlines():
12     words = line.split()
13     n = int(words[0].replace(", ", ""))
14     values = []
15     for word in words[1:]:
16         values.append(float(word.replace(", ", "")))
17     if averages.get(n) is None:
18         averages[n] = {
19             'values': values,
20             'samples': 1
21         }
22     else:
23         values_averages = averages[n]['values']
24         samples = averages[n]['samples']
25         for i in range(0, len(values_averages)):
26             values_averages[i] *= samples
27             values_averages[i] += values[i]
28             values_averages[i] /= samples+1
29         averages[n]['samples'] += 1
30
31 file.close()
32 file = open(sys.argv[1], 'w')
33
34 for n, averages in averages.items():
35     file.write(str(n))
36     for average in averages['values']:
37         file.write('\t' + str(average))
38     file.write('\n')
39
40 file.close()

```

Recorte 3: calculo_media.py

2.2 Gráfica de ejecución de los programas “slow” y “fast”

Tras ejecutar nuestras pruebas, cálculo de medias y generación de gráficas automáticas obtenemos la siguiente gráfica:

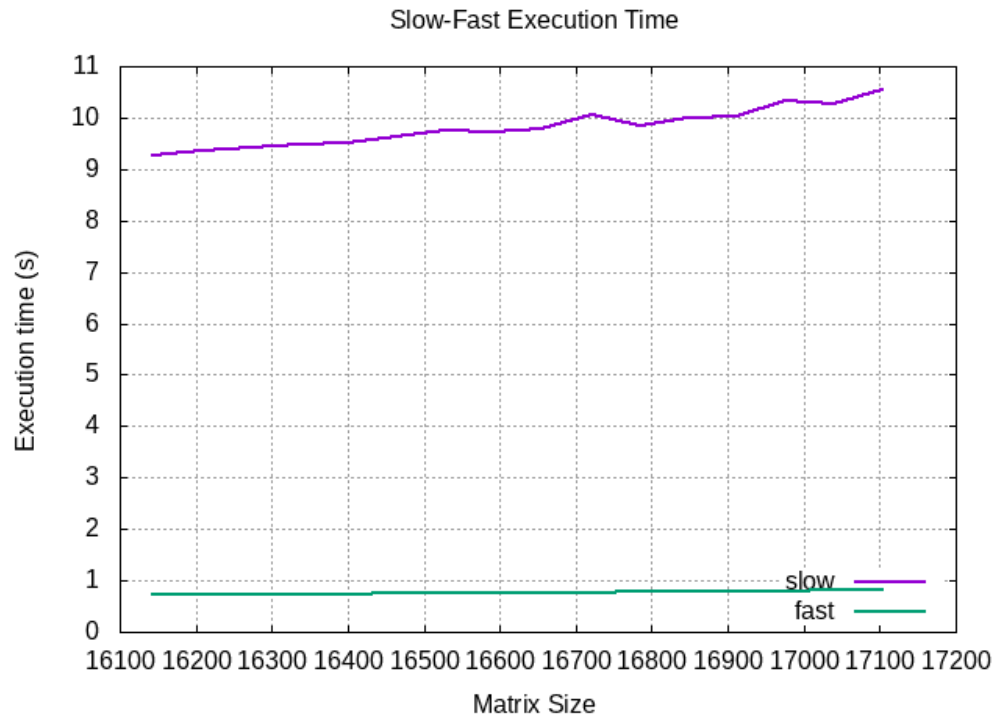


Figura 2: Gráfica time_slow_fast.png.

Podemos observar cómo el aumento del tamaño de la matriz aumenta el tiempo de computación de manera lineal, y mucho más acusadamente para el programa “slow” que para el programa “fast”.

Esto se debe a que las matrices en memoria se almacenan como arrays de arrays, de manera que los elementos de cada fila se encuentran adyacentes en memoria, pero los elementos de cada columna se encuentran en zonas separadas de memoria, de manera que resulta mucho más eficiente recorrer las matrices por filas que por columnas.

Este efecto se manifiesta de manera más clara con tamaños de matriz más grandes, ya que con matrices de tamaños pequeños resulta prácticamente irrelevante el hecho de que la información de las columnas no sea adyacente entre sí.

3 EJERCICIO 2: TAMAÑO DE LA CACHÉ Y RENDIMIENTO

3.1 Ejecución de las pruebas

Para la realización de este ejercicio hemos usado la herramienta “cachegrind” para recolectar información sobre los fallos de memoria de los programas, usando la metodología explicada anteriormente ^{2,1}

3.2 Gráficas de fallos de escritura

Tras la ejecución automática de las pruebas y las gráficas obtenemos los siguientes resultados:

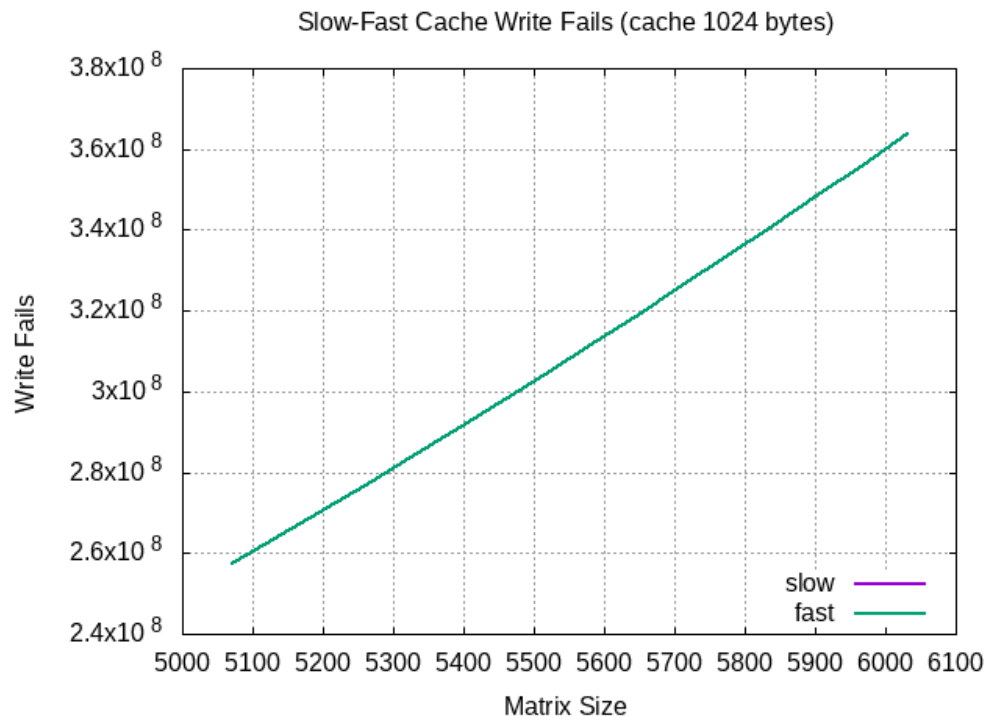


Figura 3: Gráfica de fallos de escritura para tamaño de caché de primer nivel 1024 bytes.

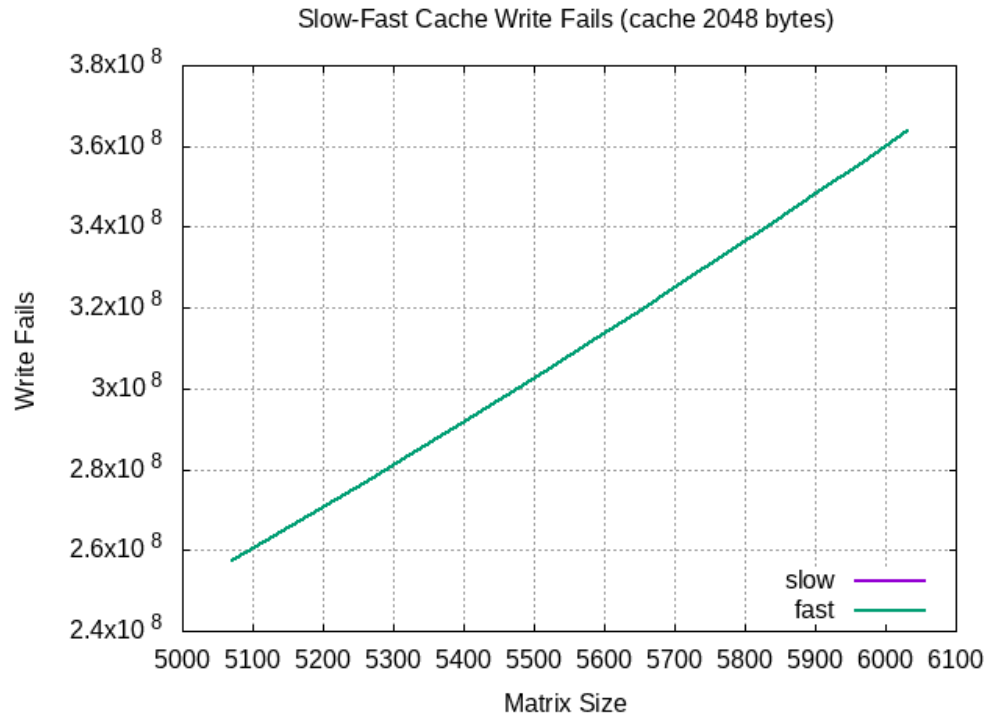


Figura 4: Gráfica de fallos de escritura para tamaño de caché de primer nivel 2048 bytes.

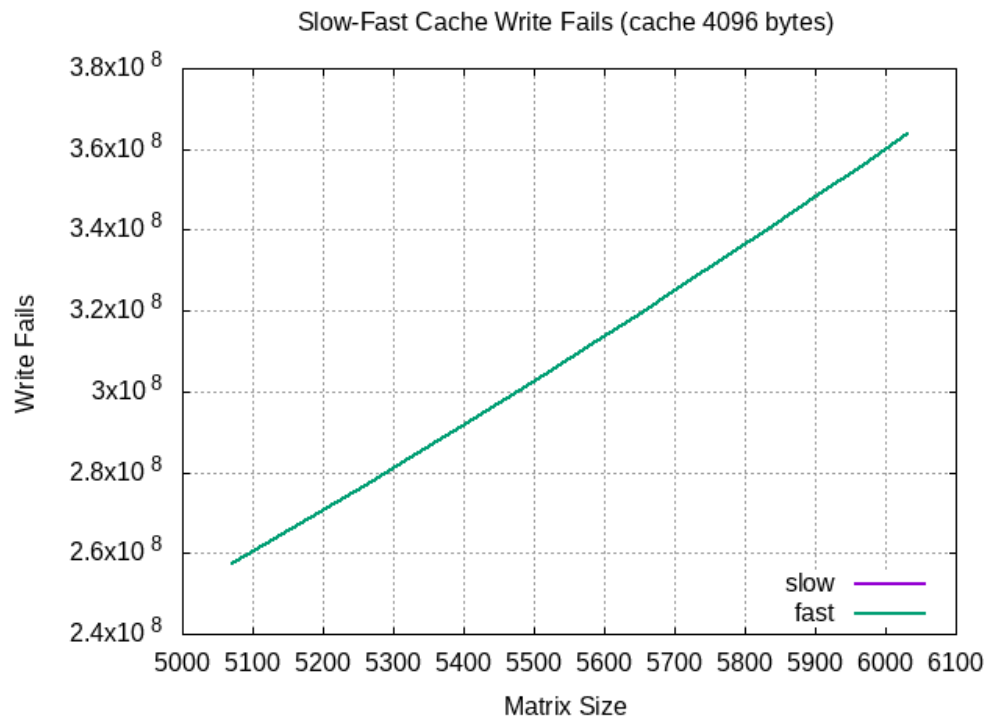


Figura 5: Gráfica de fallos de escritura para tamaño de caché de primer nivel 4096 bytes.

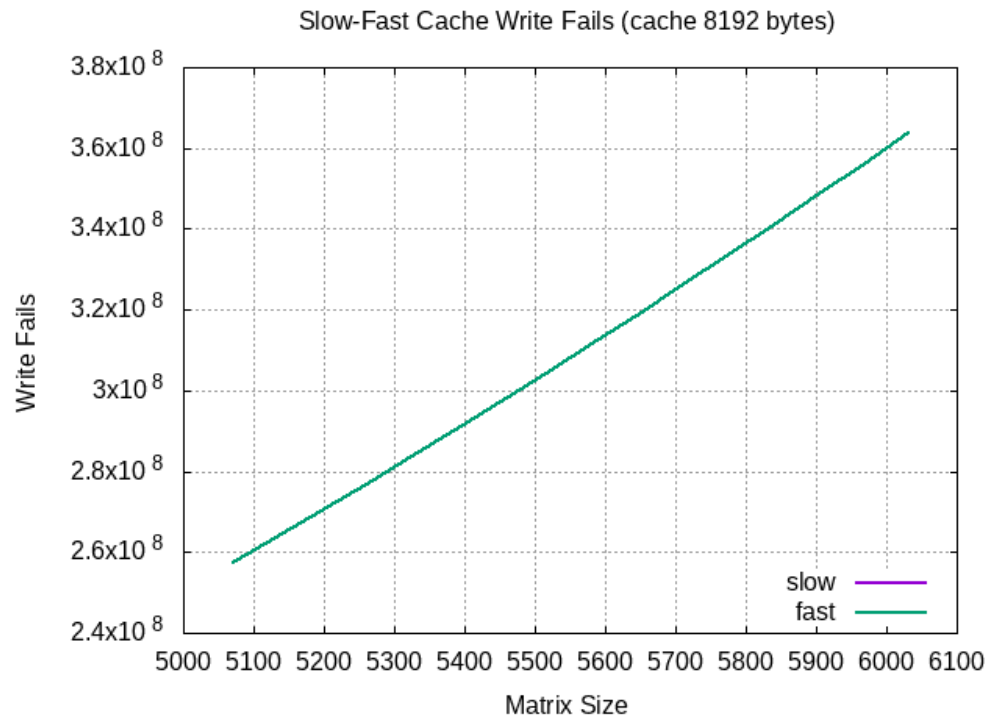


Figura 6: Gráfica de fallos de escritura para tamaño de caché de primer nivel 8192 bytes.

El principal efecto observado sobre las gráficas es el hecho de que los fallos de escritura en la memoria caché son proporcionales al tamaño de las matrices, creciendo de manera lineal para tamaños grandes.

3.3 Gráficas de fallos de lectura

Tras la ejecución automática de las pruebas y las gráficas obtenemos los siguientes resultados:

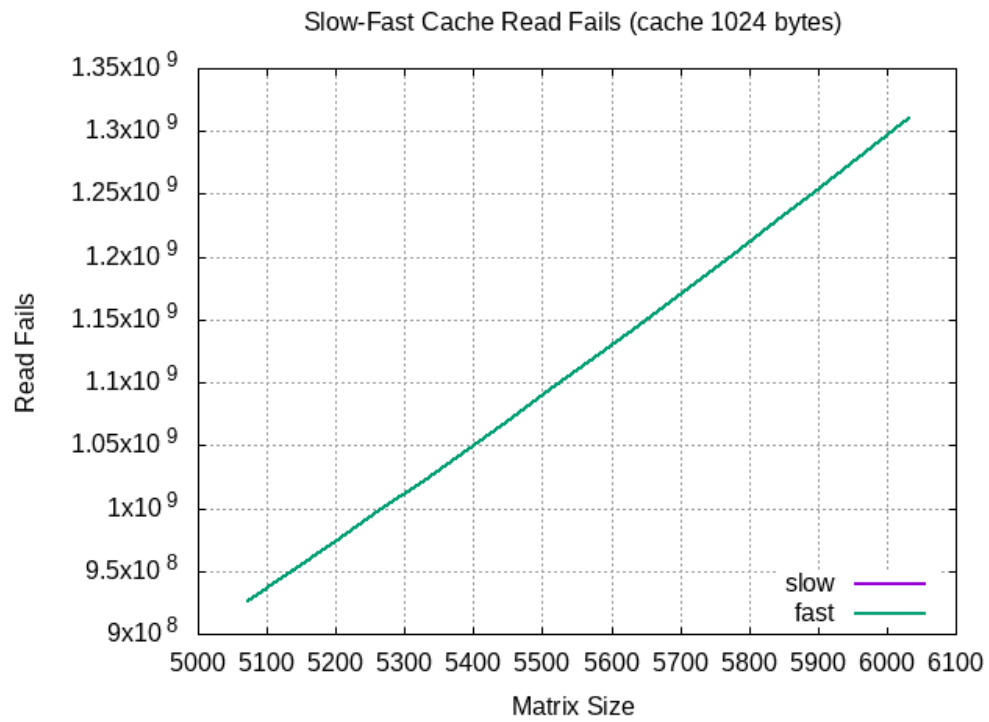


Figura 7: Gráfica de fallos de lectura para tamaño de caché de primer nivel 1024 bytes.

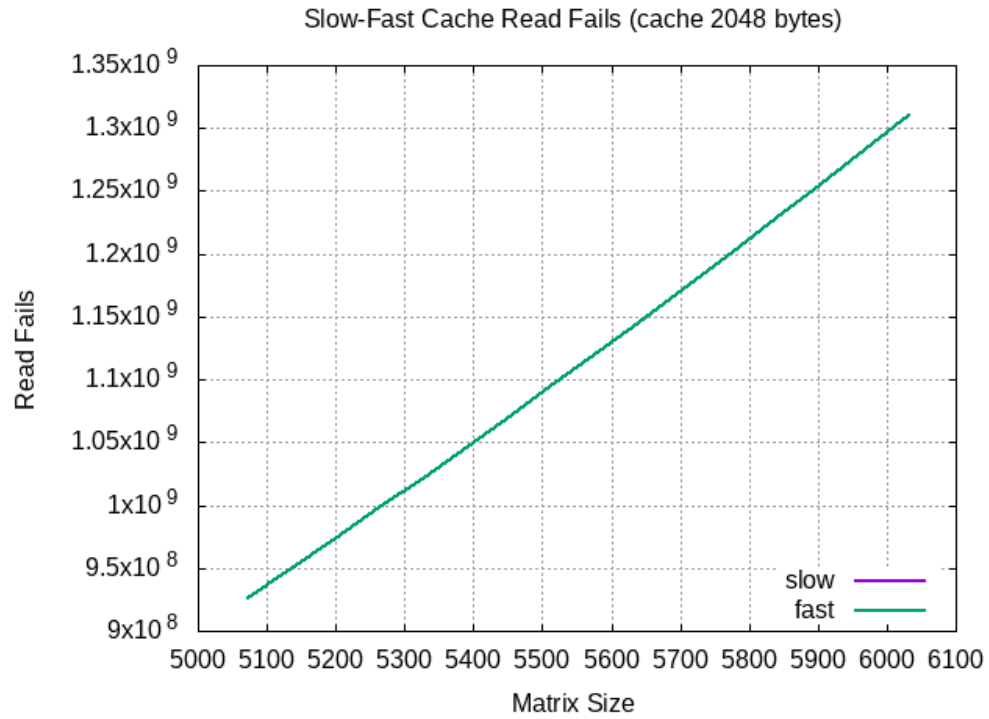


Figura 8: Gráfica de fallos de lectura para tamaño de caché de primer nivel 2048 bytes.

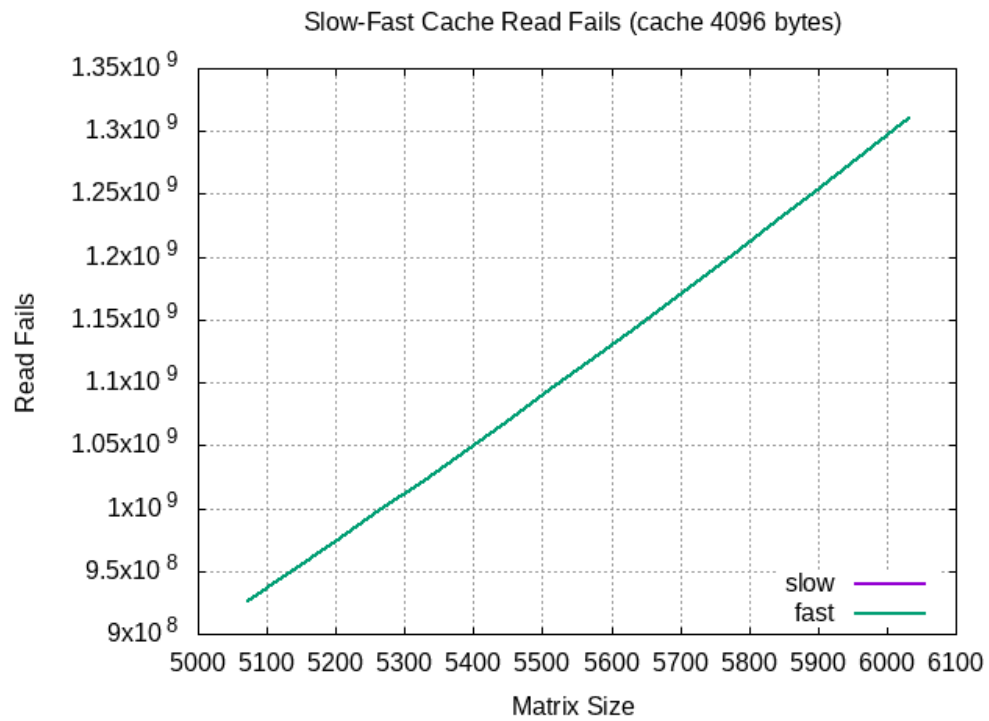


Figura 9: Gráfica de fallos de lectura para tamaño de caché de primer nivel 4096 bytes.

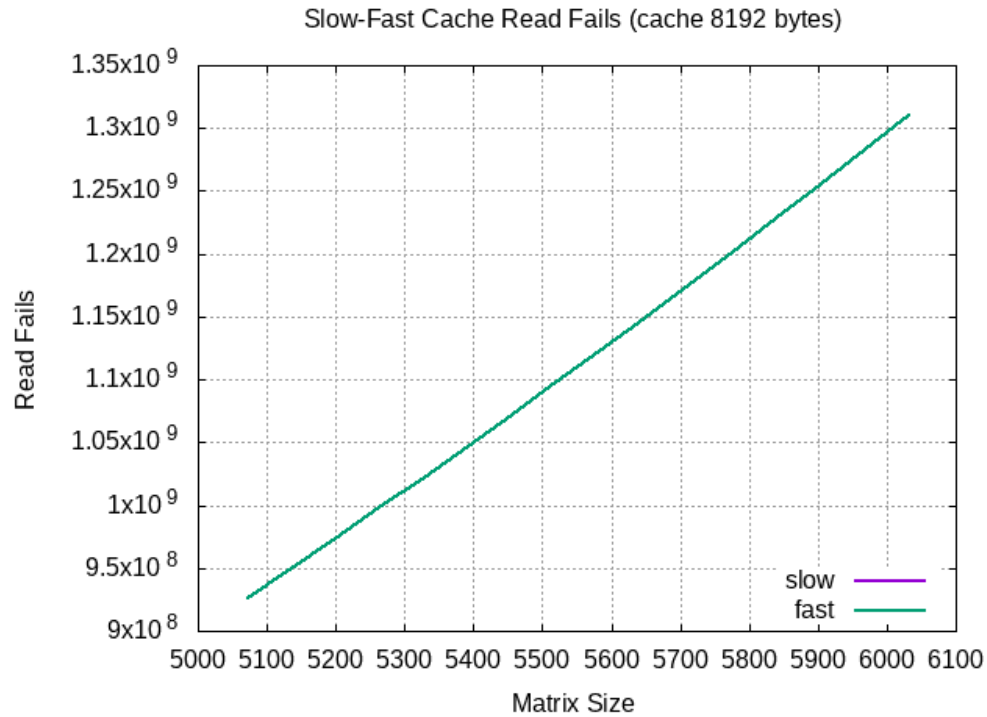


Figura 10: Gráfica de fallos de lectura para tamaño de caché de primer nivel 8192 bytes.

Observamos que los fallos en la memoria caché, tanto de lectura como de escritura, son proporcionales al tamaño de las matrices, creciendo de manera lineal para tamaños grandes.

También podemos observar que los fallos de lectura y escritura de la caché para los programas “slow” y “fast” resultan prácticamente idénticos (aunque no exactamente idénticos). Hemos obtenido estos datos tras muchas simulaciones en diferentes equipos, tanto con la herramienta “cachegrind” como con la herramienta “callgrind”, y concluimos que esto se debe a algún tipo de fallo en nuestra metodología^{2,1} o en la ejecución de las pruebas en sí.

4 EJERCICIO 3: CACHÉ Y MULTIPLICACIÓN DE MATRICES

4.1 Algoritmo

Pese a existir algoritmos de multiplicación de matrices significativamente más eficientes [1], hemos decidido implementar un algoritmo que se limita a recorrerse ambas matrices, multiplicando y sumando números para obtener el resultado de la multiplicación de matrices (similar a como lo haríamos a mano). De esta manera la complejidad computacional del algoritmo es de $O(N^3)$, siendo N el tamaño de las matrices.

Para el programa que calcula primero la transpuesta de la matriz usamos otra matriz auxiliar para almacenarla, pese a que podríamos haberlo realizado con tan solo $O(1)$ memoria adicional, realizando “swaps” dentro de la propia matriz.

4.2 Realización de las pruebas

Para la realización de las pruebas hemos usado scripts de generación de ficheros, medias y gráficas de manera automática tal y como explicamos en la sección 2.1.

4.3 Gráficas de tiempo de ejecución

Tras la realización de las pruebas obtenemos la siguiente gráfica:

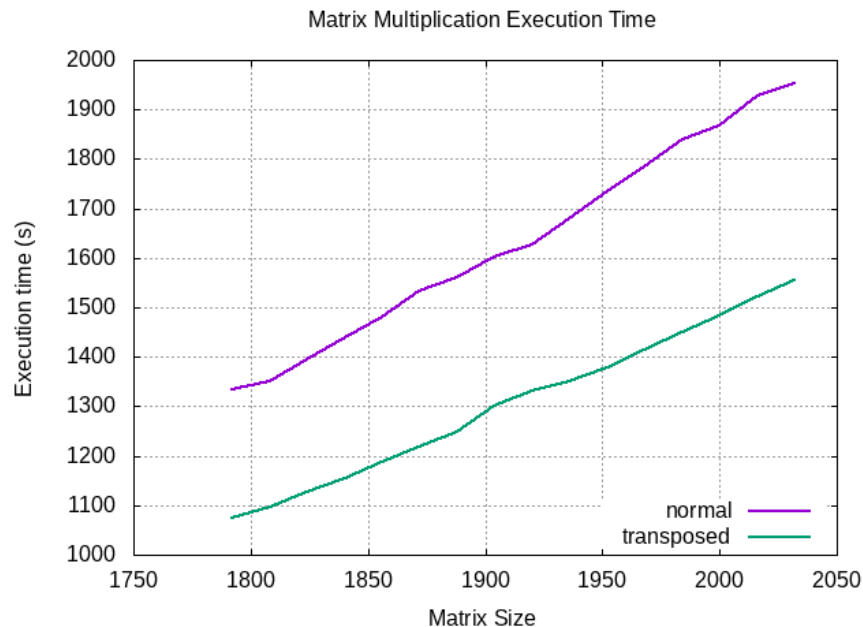


Figura 11: Gráfica de tiempo de ejecución de ambos programas de multiplicación de matrices.

Como podemos observar, el tiempo de ejecución del programa que calcula primero la transpuesta de la matriz es sistemáticamente más rápido, aunque necesite copiar uno a uno los valores de una matriz en otra. También podemos observar que el tiempo de ejecución aumenta en mayor medida en el programa normal, en contraposición del transpuesto, que crece más levemente.

4.4 Gráficas de fallos de memoria

Tras las realización de las pruebas automáticas obtenemos la siguiente gráfica:

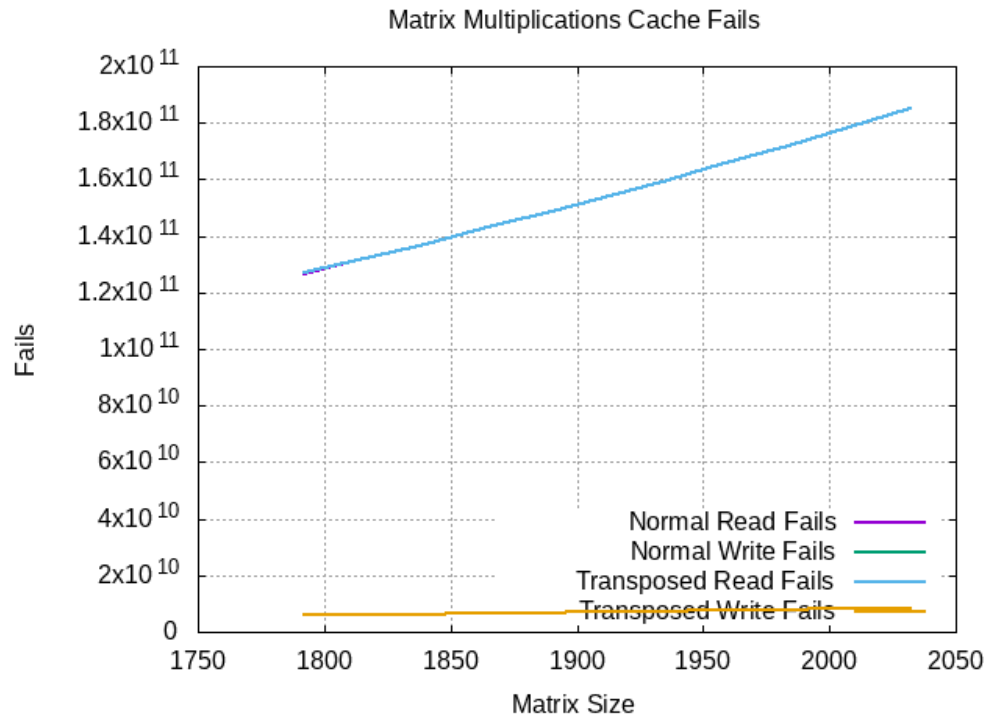


Figura 12: Gráfica de fallos de caché de ambos programas de multiplicación de matrices.

Podemos observar que los fallos de lectura son mucho más acusados que los de escritura, ya que mientras los de escritura se mantienen prácticamente constantes, los de lectura crecen de manera lineal.

También destaca el hecho de que la cantidad de fallos en memoria caché es prácticamente idéntico entre programas, como ya observamos anteriormente ^{3,3}.

5 EJERCICIO 4

Para la realización del ejercicio 4 hemos decidido ejecutar la multiplicación de matrices con diferentes tamaños de caché, de una manera similiar a la expuesta en el ejercicio 2 [3,1](#), en la que también recogemos información sobre los tiempos de ejecución, para los diferentes tamaños de matrices y caché.

5.1 Gráficas de tiempos de ejecución

Estos son los tiempos de ejecución obtenidos tras la realización de las pruebas:

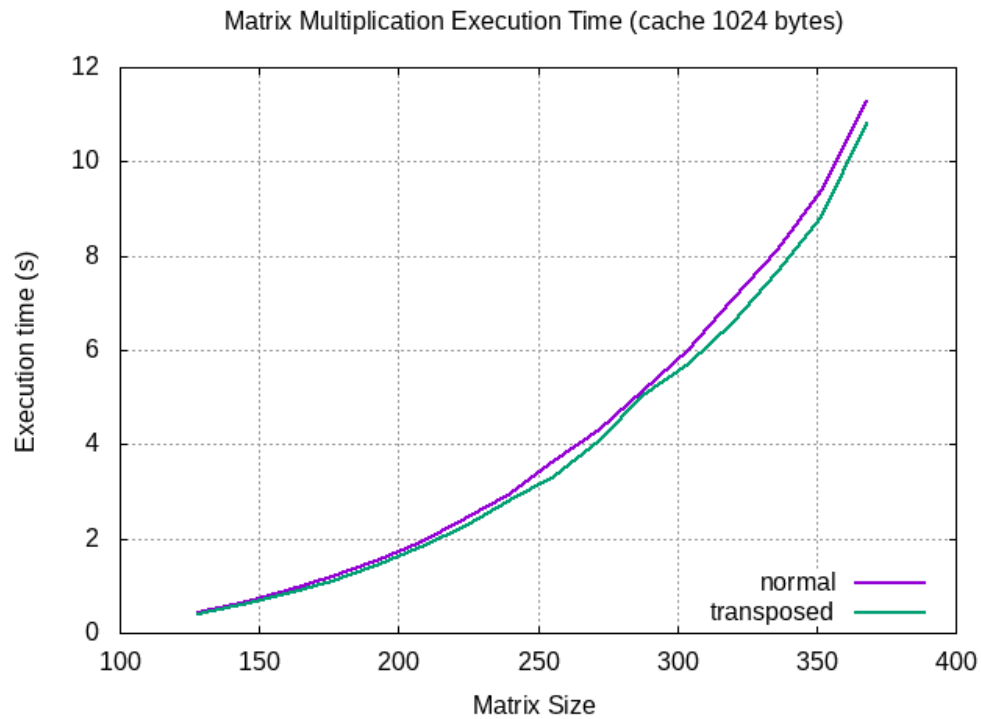


Figura 13: Gráfica de tiempo de ejecución para tamaño de caché de primer nivel 1024 bytes.

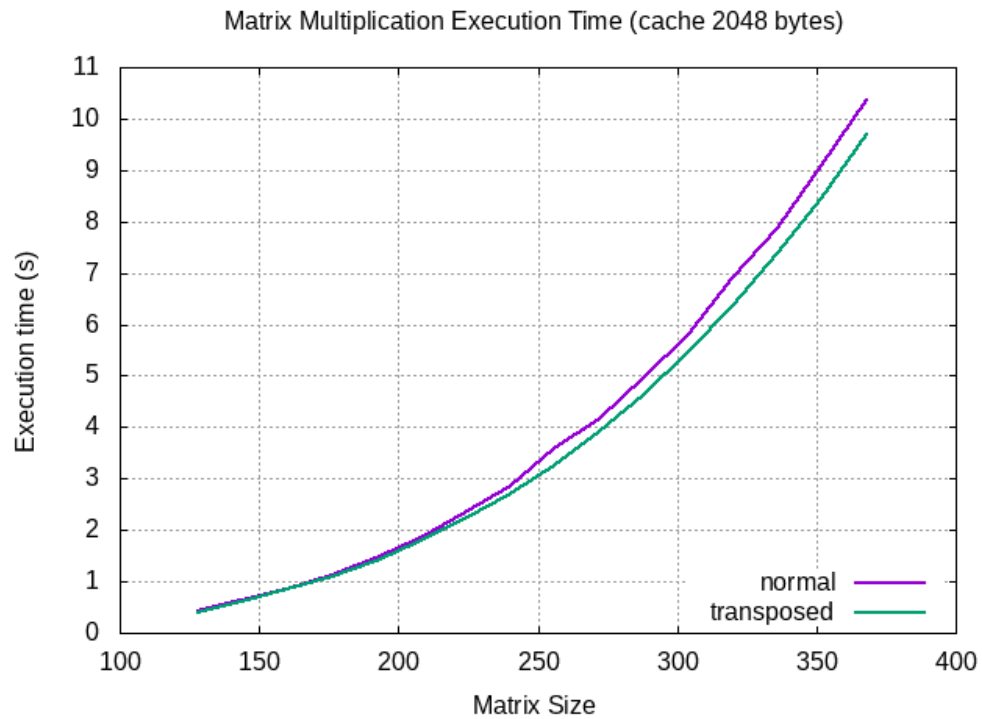


Figura 14: Gráfica de tiempo de ejecución para tamaño de caché de primer nivel 2048 bytes.

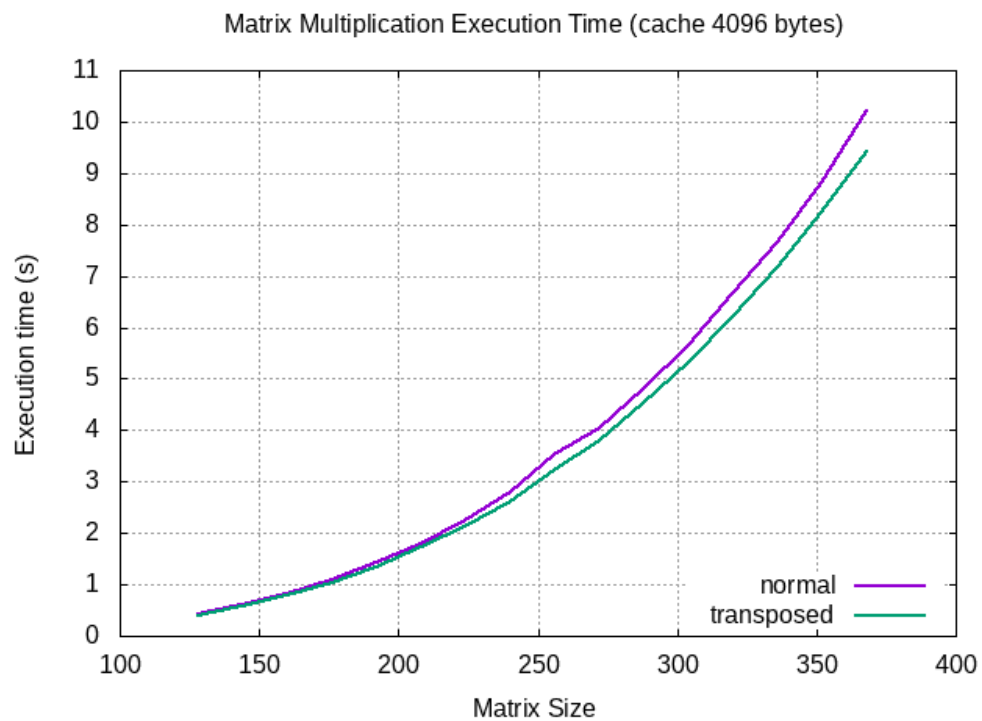


Figura 15: Gráfica de tiempo de ejecución para tamaño de caché de primer nivel 4096 bytes.

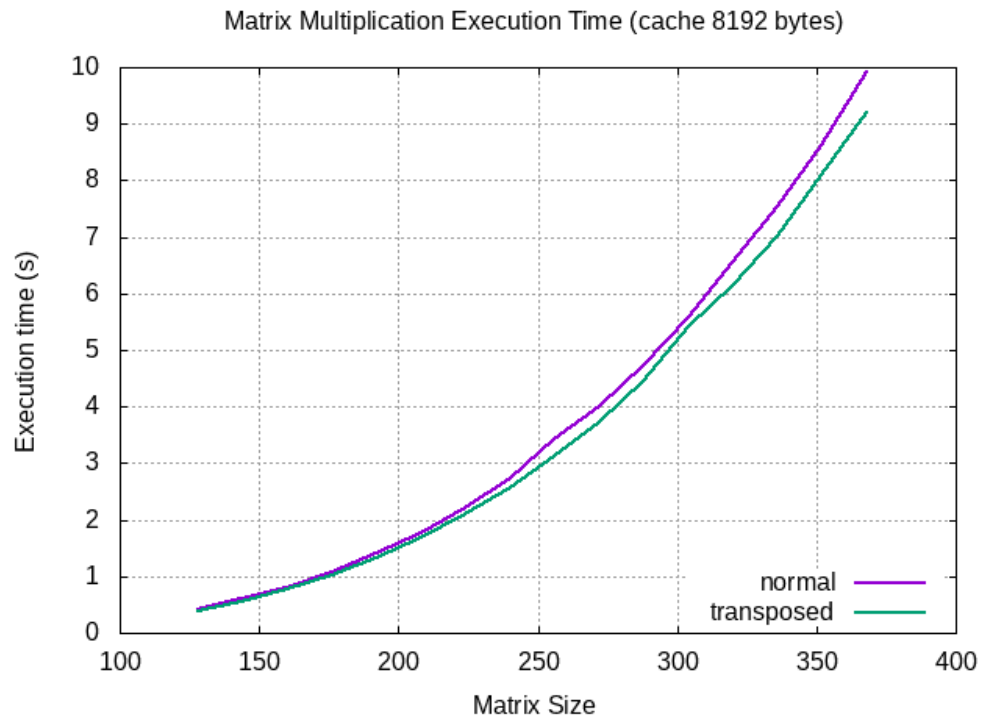


Figura 16: Gráfica de tiempo de ejecución para tamaño de caché de primer nivel 8192 bytes.

Los tiempos de ejecución de ambos programas son similares para todos los casos, creciendo de manera polinómica con el tamaño de la matriz, como ya explicamos en el ejercicio 3^{4,1}. Sí que es notable el hecho de que ambos programas se ejecutan más rápido conforme más tamaño de caché se configura para cachegrind, y que el programa que realiza primero la transposición de la matriz es constantemente más rápido que el que no la hace.

5.2 Gráficas de fallos de lectura y escritura

Las gráficas obtenidas para la información de los fallos de caché tras la ejecución de los tests son estas:

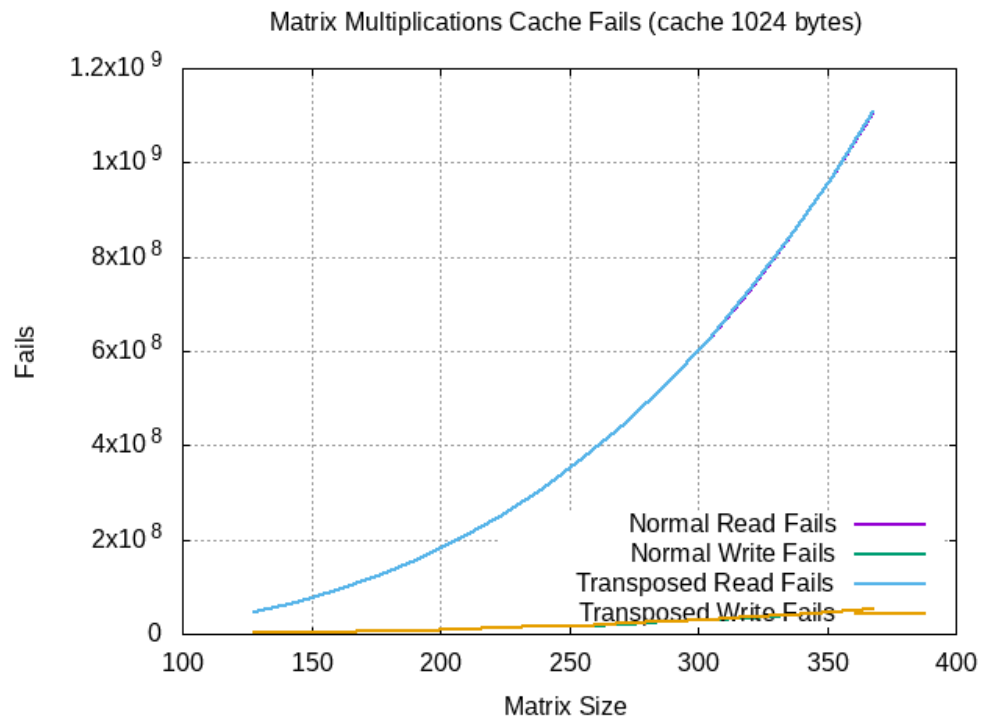


Figura 17: Gráfica de fallos de caché para tamaño de caché de primer nivel 1024 bytes.

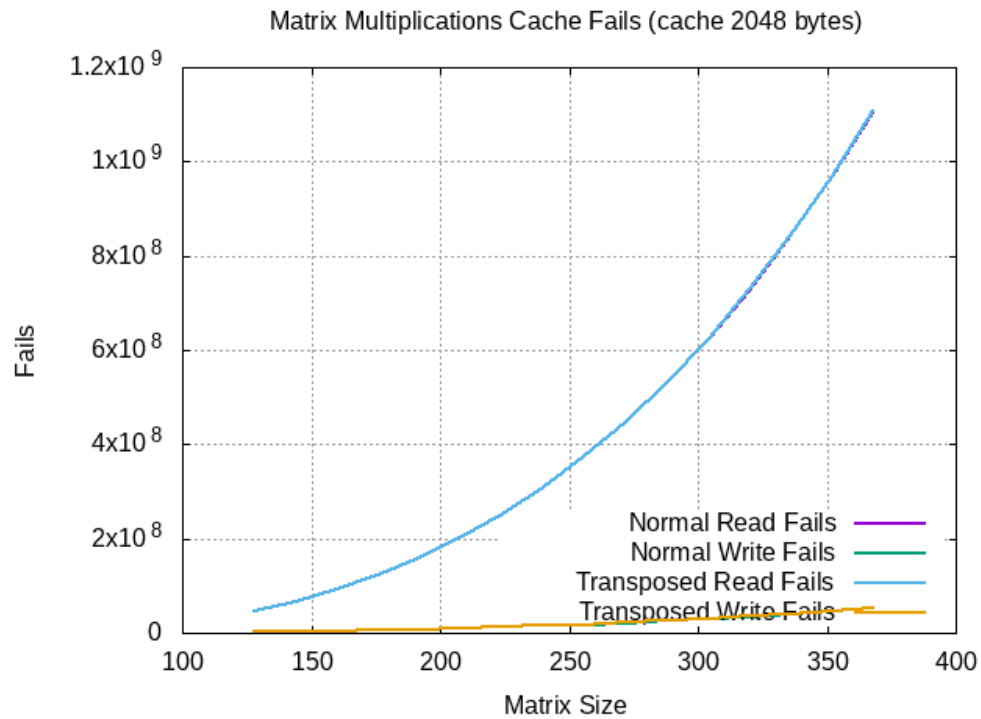


Figura 18: Gráfica de fallos de caché para tamaño de caché de primer nivel 2048 bytes.

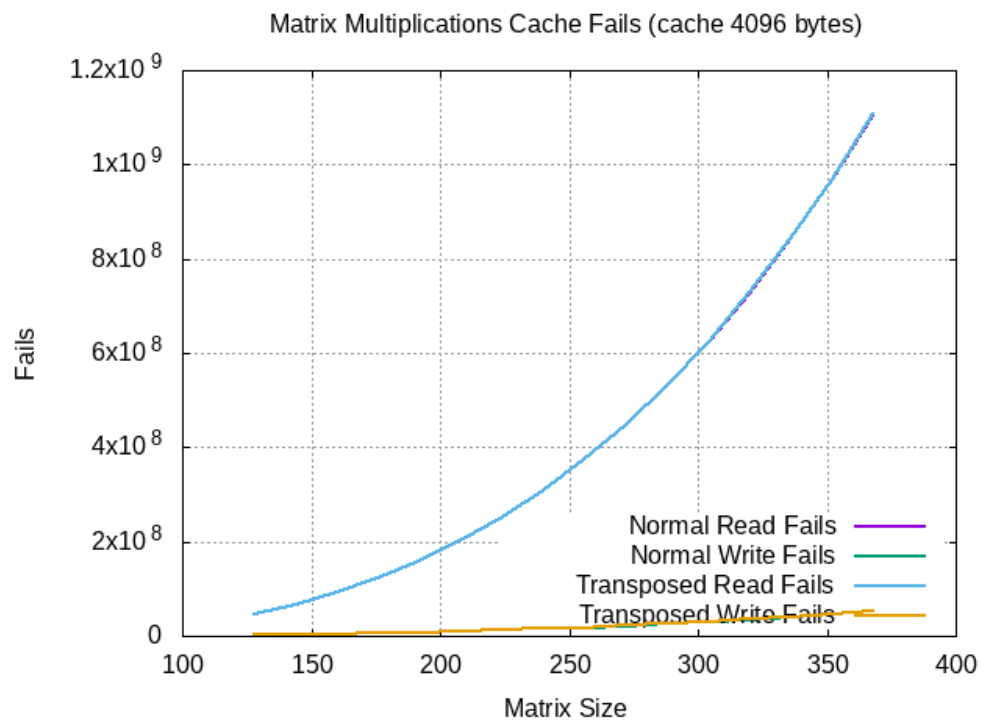


Figura 19: Gráfica de fallos de caché para tamaño de caché de primer nivel 4096 bytes.

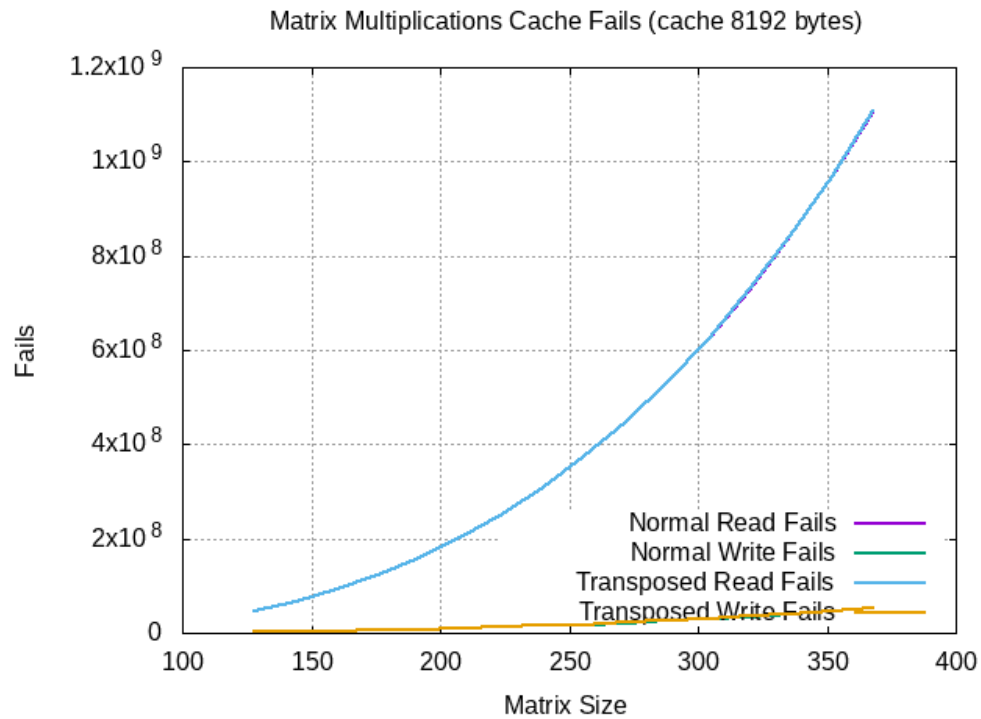


Figura 20: Gráfica de fallos de caché para tamaño de caché de primer nivel 8192 bytes.

Las gráficas muestran que los fallos de escritura son mucho menores a los de lectura independientemente del tamaño de la caché de nivel 1. Así mismo los fallos de escritura crecen de manera lineal con el tamaño de la matriz, mientras que los de lectura lo hacen de manera polinómica.

Observamos una problemática parecida a la que ya nos encontramos en el ejercicio 2^{3,3}, y es que ambos programas poseen gráficas extrañamente similares.

REFERENCIAS

- [1] François Le Gall. Powers of Tensors and Fast Matrix Multiplication. *arXiv e-prints*, art. arXiv:1401.7714, Jan 2014.